

УДК 532.591

## ФОРМИРОВАНИЕ ПРОСТРАНСТВЕННЫХ ВНУТРЕННИХ ВОЛН ЗА ТЕЛОМ, ДВИГАЮЩИМСЯ В СТРАТИФИЦИРОВАННОЙ ВЯЗКОЙ ЖИДКОСТИ

© 2023 г. П. В. Матюшин\*

*Институт автоматизации проектирования РАН, Москва, Россия*

*\*E-mail: pmatyushin@mail.ru*

Поступила в редакцию 27.12.2022 г.

После доработки 27.02.2023 г.

Принята к публикации 28.02.2023 г.

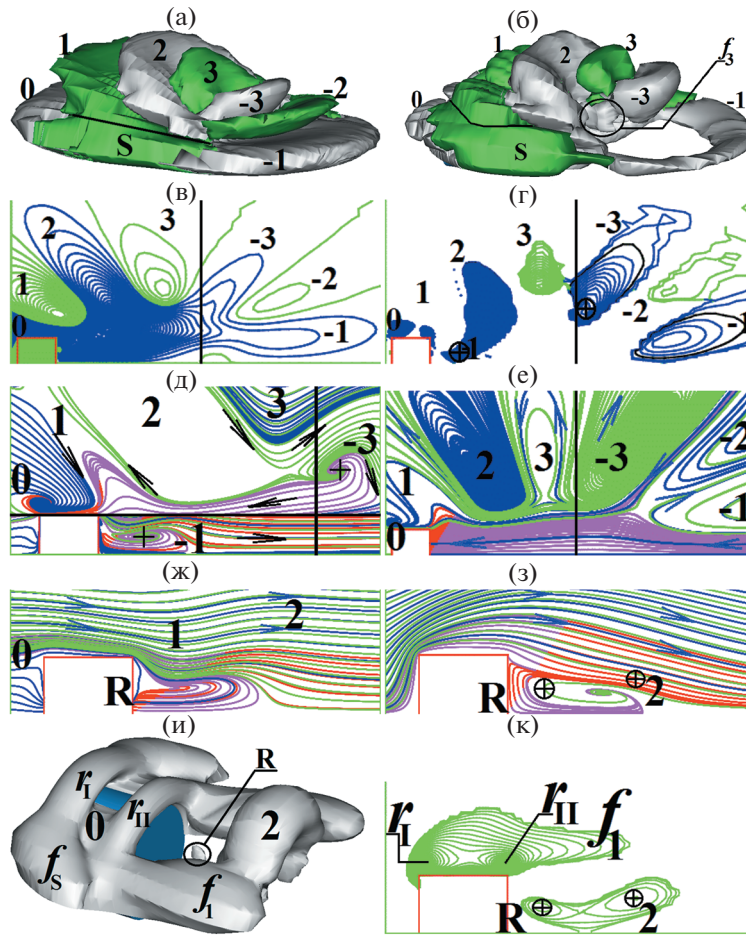
Рассмотрено равномерное движение диска в горизонтальном направлении вдоль оси его симметрии в покоящейся стратифицированной вязкой жидкости. Диск генерирует пространственные гравитационные внутренние волны, занимающие все пространство между диском и местом его старта. Волны наблюдаются при помощи двухцветной бета-плюс-визуализации вихревой структуры течения, рассчитанного при помощи системы уравнений Навье–Стокса в приближении Буссинеска. В настоящей работе существенно дополнен опубликованный ранее механизм формирования полуволн над осью симметрии диска, где основное внимание уделялось периодическому процессу зарождения деформированных вихревых колец над местом старта диска, происходящему в силу гравитационной и сдвиговой неустойчивостей; левое полукольцо трансформируется в полуволну впадин или гребней, а правое полукольцо исчезает со временем. В настоящей работе установлено, что левые части правых нечетных полуколец превращаются в осевые части полуолн гребней.

*Ключевые слова:* диск, стратифицированная вязкая жидкость, вихревая структура, волна, нить, петля

DOI: 10.31857/S1024708422601019, EDN: WKFNOM

Понимание процесса формирования сложных пространственных (3D) вихревых структур в жидкости, инициированного прохождением тела конечных размеров сквозь нее, всегда вызывало большой интерес. Одним из способов получения этой сложной 3D-структуры была визуализация полей векторов скорости, рассчитанных при помощи математического моделирования этого процесса. Если использовать сферу, как простейшее 3D-тело конечных размеров, и однородную несжимаемую вязкую жидкость, то топология 3D вихревой структуры будет достаточно сложной. В 1987 г. в [1] начало процесса формирования цепочки вихревых петель в следе за сферой визуализировали при помощи нескольких мгновенных 3D-линий завихренности. Этот процесс довольно трудоемкий, так как для каждой такой линии надо грамотно задать ее начальную точку. В результате появления в 1988–1995 гг. новых подходов к визуализации вихревых структур в жидкости и газе, описанных в [2], стало возможным получать рассчитанные 3D вихревые структуры в следе за сферой [3, 4], топологии которых качественно совпадали с экспериментом [5]. В 2006 г. был впервые детально рассмотрен механизм формирования вихрей (МФВ) в следе за сферой, равномерно двигающейся в однородной несжимаемой вязкой жидкости, приводящий к формированию цепочки вихревых петель в виде шпилек для волос [6]. МФВ здесь работает в рециркуляционной области  $R$  следа, расположенной за сферой (рис. 1ж–1з).

В случае линейно стратифицированной по плотности несжимаемой вязкой жидкости наблюдается симметрия поля векторов скоростей жидкости относительно горизонтальной плоскости, проходящей через геометрический центр  $O$  выпуклого симметричного тела. Поэтому, для определенности, динамика изменения структуры течения стратифицированной жидкости описывается только в верхнем полупространстве над точкой  $O$ . Пусть точка  $F$  находится над точкой  $O$  на пересечении поверхности тела с вертикальной осью  $X$ , проходящей через точку  $O$  и направленной вверх. Например, для сферы точка  $F$  будет ее верхним полюсом. В [7] сфера покоится на уровне нейтральной плавучести в покоящейся стратифицированной вязкой жидкости. Несмот-

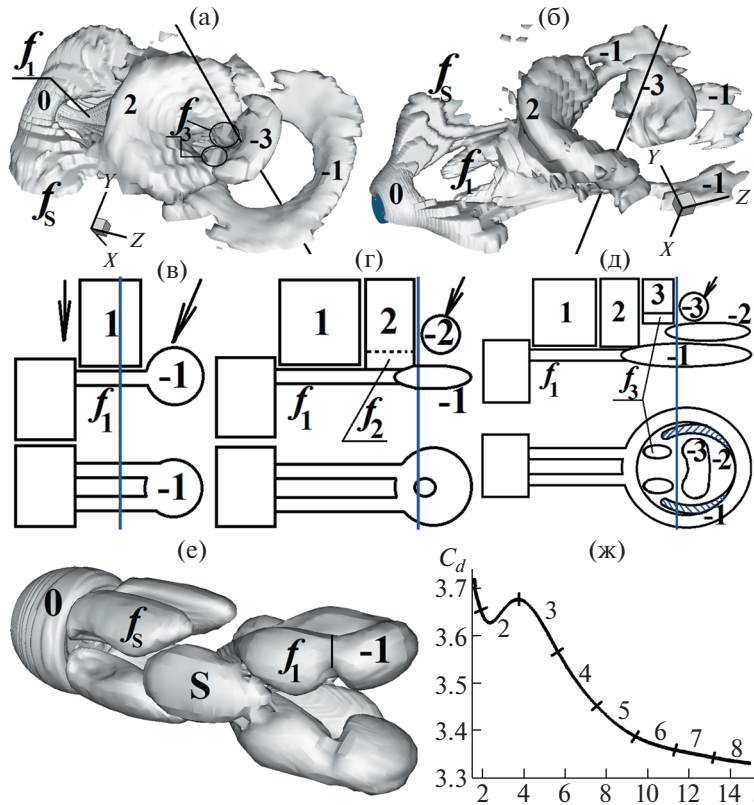


**Рис. 1.** Течение около диска при  $T = 1.5$ ,  $Fr = 0.3$ ,  $Re = 50$ ,  $T_b = 2\pi$  с:  $a-b$ ,  $u$  – изоповерхности  $\omega_+ = |\text{rot } \mathbf{v}|_+ = \pm 0.01$ ,  $\beta_+ = \pm 0.01$ ,  $\beta = 0.2$ ;  $e-z$ ,  $\kappa$  – изолинии  $\omega_\varphi = (\text{rot } \mathbf{v})_\varphi$  с шагом  $0.02$  ( $e$ ) и  $\beta_+$  с шагом  $2 \times 10^{-3}$  ( $e$ ) в вертикальной плоскости  $x-z$  и  $\beta_+$  с шагом  $0.04$  в плоскости  $y-z$  ( $\kappa$ );  $d-z$  – мгновенные линии тока в СКЗ(0, -0.01, 0) при  $0 \leq x \leq d/2$  и в СКЗ(0.973, 0.005, 0) при  $x > d/2$ , соответственно ( $d$ ), в СК2 ( $e$ ) и в СК1 в плоскостях  $x-z$  ( $ж$ ) и  $y-z$  ( $з$ ).

ря на то что силы диффузии толкают жидкость во всех направлениях, и в силу того, что многие части поверхности сферы находятся под углом к горизонту, около них при  $X > 0$  создаются течения жидкости, индуцированные диффузией, направленные к точке  $F$ . Течение это будет очень медленным и осесимметричным относительно оси  $X$ . В [7] показано, что в окрестности прямой  $X$  периодически над самым верхним кольцом в силу гравитационной и сдвиговой неустойчивостей генерируется новое осесимметричное вихревое кольцо, которое уменьшает вертикальные размеры ранее сгенерированных колец. Каждая пара колец составляет одну гравитационную внутреннюю волну. Групповые скорости этих волн перпендикулярны их фазовой скорости и направлены по радиус-векторам от точки  $F$  [7]. Далее около точки  $F$  остаются только два вихревых кольца, сильно сплюснутых в вертикальном направлении и наблюдаемых в эксперименте [7]. Таким образом, краткая формулировка МФВ в [7] звучит так: “На точку  $F$  падают кольца”.

Если вместо сферы взять диск с горизонтальной осью симметрии  $Z$ , то диффузия индуцирует течение жидкости только около боковой поверхности диска [8]. Поэтому в [7] сингулярная точка  $F$  – узел, а в [8] – седло. В [8] на точку  $F$  сначала падают деформированные вихревые прямоугольники вместо колец. Далее вихревая структура течения становится все более хаотичной.

В настоящей статье рассмотрено равномерное движение диска из статьи [8] вдоль оси  $Z$  справа налево. Пусть  $Q$  – место старта центра тыльной стороны диска. На рис. 1в–1е точка  $Q$  находится на пересечении черной вертикальной прямой и оси  $Z$ , совпадающей с нижней границей рисунков. Из линейной теории и экспериментов известно, что старт тела сопровождается излу-



**Рис. 2.** Течение около диска при  $Re = 50$ ,  $T_b = 2\pi$  с:  $a-b$  – изоповерхности  $(\beta-) = 2 \times 10^{-3}$  и  $(\lambda_2-) = -3 \times 10^{-6}$  при  $x < 0$ ,  $Fr = 0.8$ ,  $T = 1.51$ ;  $c-d$  – схематическое представление изоповерхностей  $\beta$  при  $x > 0$ ,  $Fr \leq 4$ ,  $0.28 \leq T \leq 1.4$ : *вверху* – вид сбоку, *внизу* – вид снизу;  $e$  – изоповерхность  $\beta = 0.003$  при  $Fr = 4$ ,  $T = 0.28$ ;  $z$  – временная зависимость коэффициента  $C_d$  сопротивления диска при  $Fr = 0.3$ , цифрам  $k$  соответствуют временные промежутки  $[0.5T_b(k-1), 0.5T_b k]$ .

чением пучка нестационарных гравитационных внутренних волн, которые распространяются от  $Q$  вдоль радиус-векторов [9, 10]. Математическое моделирование позволяет детально изучить этот процесс излучения пучка волн, подробно исследуя динамику 3D вихревой структуры течения жидкости. Детальное описание этого процесса было дано в [11]. Сначала между диском и точкой  $Q$  формируются две вихревые нити  $f_1$ , которые потом трансформируются в ножки вихревой петли  $-1$ , головная часть  $-1$  которой расположена правее  $Q$  (рис. 2e). Потом над  $Q$  периодически зарождаются деформированные вихревые кольца  $k$ , где  $k = 2, 3, 4 \dots$ . Таким образом, краткая формулировка МФВ в [11] звучит так: “На точку  $Q$  падают деформированные кольца”. То есть краткие формулировки МФВ в статьях [7] и [11] практически совпадают.

Здесь надо подчеркнуть важное различие МФВ для однородной и стратифицированной жидкостей. Если в однородной жидкости вихревая структура течения формируется непосредственно за телом [6], то в стратифицированной жидкости – над местом старта тела [11].

В [11] большое внимание уделяется объяснению механизма формирования вихревых колец над  $Q$ , происходящему из-за гравитационной и сдвиговой неустойчивостей. В [11] демонстрируется, что левое полукольцо  $k$  трансформируется в полуволну впадин или гребней, а правое полукольцо  $-k$  исчезает со временем. Дело в том, что водоворот жидкости, инициируемый стартом диска, заставляет левые полукольца крутиться сильнее, чем правые. В результате этого размеры левых полуколец увеличиваются, а величина завихренности в них будет на порядок больше, чем в правых полукольцах (рис. 1a, 1в). Таким образом, внутренние полуволны (бывшие левые полукольца) занимают все пространство между диском и точкой  $Q$ .

Начальная и последующие стадии МФВ сильно отличаются в приведенном выше кратком изложении. Желание получить более универсальный МФВ в широком диапазоне чисел  $Fr$  и дополнительные всесторонние исследования динамики 3D вихревой структуры течений стратифици-

рованной вязкой жидкости привели к появлению настоящей статьи. В ней МФВ существенно доработан по сравнению с [11], и переименован в механизм формирования внутренних волн (МФВВ). Формулировка этого МФВВ будет дана после описания постановки этой задачи, методов ее численного решения и визуализации 3D вихревой структуры течений жидкости.

## 1. ПОСТАНОВКА ЗАДАЧИ

Диск с диаметром  $d$  и толщиной  $h = 0.76d$  вносится в покоящуюся линейно стратифицированную по плотности несжимаемую вязкую жидкость и сразу же начинает равномерное движение со скоростью  $U$  вдоль горизонтальной оси симметрии  $Z$  диска справа налево. Пусть точка  $Q$  старта центра тыльной стороны диска будет началом покоящейся декартовой системы координат СК2 ( $z, x, y$ ), где ось  $x$  – вертикальна, ось  $z$  совпадает с осью  $Z$ . Пусть начало движущейся декартовой системы координат СК1 ( $Z, X, Y$ ) с вертикальной осью  $X$  связано с геометрическим центром  $O$  диска. Для решения поставленной задачи моделируется вспомогательная задача обтекания диска равномерным потоком жидкости со скоростью  $U$  в СК1. Направление потока жидкости совпадает с положительным направлением оси  $Z$ .

Пусть  $T_b$  – период плавучести жидкости,  $T$  – безразмерное на  $T_b$  время, прошедшее с момента внесения диска в жидкость. Плотность жидкости  $\rho(Z, X, Y) = 1 - 0.5 \cdot X/A + S(Z, X, Y)$  безразмерна на плотность  $\rho_0$  на уровне центра диска, а координаты  $Z, X, Y$  – на  $d/2$ , где  $A = \Lambda/d$  – отношение масштабов,  $N_b = 2\pi/T_b$  и  $\Lambda = g/N_b^2$  – частота и масштаб плавучести жидкости,  $g$  – ускорение свободного падения,  $S(Z, X, Y)$  – безразмерное на  $\rho_0$  возмущение солёности, которое при  $T = 0$  равно нулю.

Для математического моделирования вспомогательной задачи обтекания диска в СК1 решается следующая безразмерная система уравнений Навье–Стокса в приближении Буссинеска [12]:

$$\frac{\partial S}{\partial t} + (\mathbf{v} \cdot \nabla)S = \frac{2}{Sc \cdot Re} \Delta S + \frac{v_x}{2A} \quad (1.1)$$

$$\frac{\partial \mathbf{v}}{\partial t} + (\mathbf{v} \cdot \nabla)\mathbf{v} = -\nabla p + \frac{2}{Re} \Delta \mathbf{v} + \frac{A}{2Fr^2} S \frac{\mathbf{g}}{g} \quad (1.2)$$

$$\nabla \cdot \mathbf{v} = 0 \quad (1.3)$$

Она записана в цилиндрической системе координат ( $Z, R, \varphi$ ):  $Z = Z, X = R \cos \varphi, Y = R \sin \varphi$ , где  $\mathbf{v} = (v_z, v_x, v_y)$  – вектор скорости, нормированный по  $U$ ;  $p$  – возмущение давления, безразмерное на  $\rho_0 U^2$ ;  $t$  – время (безразмерное на  $f = d/(2U) = 1/(2Fr \cdot N_b)$ );  $Re = Ud/\nu$  – число Рейнольдса,  $Fr = UT_b/(2\pi d)$  – внутреннее число Фруда,  $Sc = \nu/\kappa = 709.22$  – число Шмидта;  $\nu = 0.01 \text{ см}^2/\text{с}$  – коэффициент кинематической вязкости воды,  $\kappa = 4.1 \times 10^{-5} \text{ см}^2/\text{с}$  – коэффициент диффузии соли;  $\nabla$  и  $\Delta$  – операторы Гамильтона и Лапласа.

Для решения этой задачи используется численный метод расщепления по физическим факторам МЕРАНЖ [13], который успешно применялся для моделирования течений несжимаемой вязкой жидкости около сфер, цилиндров и дисков [4, 6–8, 11, 14–16], а также для течений со свободной поверхностью [13]. Детали численного метода, цилиндрической расчетной сетки, граничных условий и результатов тестирования программного комплекса математического моделирования и визуализации 3D-течений стратифицированной вязкой жидкости около диска опубликованы в [11, 14]. Приведенная в [14] классификация течений стратифицированной вязкой жидкости около диска толщиной  $h = 0.76d$  при  $0.05 < Fr < 100$  и  $50 < Re < 500$  хорошо согласуется с трехмерными расчетами [15, 16] и с экспериментами [17, 18].

Внешняя правая граница расчетной области удалена от центра диска на  $25d$ . При  $Fr \geq 10$  длина внутренней волны  $\lambda = 2\pi Frd \geq 20\pi d \approx 62.83d$ , т.е. на выбранной расчетной сетке уместится менее чем 40% длины первой волны. Более того, амплитуда этой волны будет мала. Поэтому характер течения около диска будет эквивалентен течению однородной вязкой жидкости [6]. При  $Fr = 4 - \lambda = 8\pi d \approx 25.13d$ , т.е. только одна волна будет доступна для наблюдения [11]. Поэтому для рассмотренной расчетной области именно при  $Fr \leq 4$  возможно исследовать генерацию внутренних волн, которые занимают все пространство расчетной сетки левее точки  $Q$  [11] (рис. 1а). Расчеты проводились на вычислительных ресурсах Межведомственного суперкомпьютерного центра Российской академии наук (МСЦ РАН).



В СК2 значения безразмерных горизонтальных компонент  $v_z$  векторов скорости, рассчитанные в СК1, уменьшаются на единицу ( $v_z = v_z - 1$ ), а значения переменных  $v_x, v_y, S$  и  $p$  в СК2 те же, что и в СК1. Таким образом, в СК2 скорость набегающего на диск потока равна нулю, а безразмерная скорость диска равна  $-1$ , т.е. диск равномерно движется справа налево в покоящейся жидкости. Центр тыльной стороны диска за время  $T = [tf]/T_b = [t/(2FrN_b)] [N_b/2\pi] = t/(4\pi Fr)$  смещается в покоящейся СК2 на расстояние  $L = U [tf]/(0.5d) = t = 4\pi Fr T$  влево от точки  $Q$  (рис. 1е).

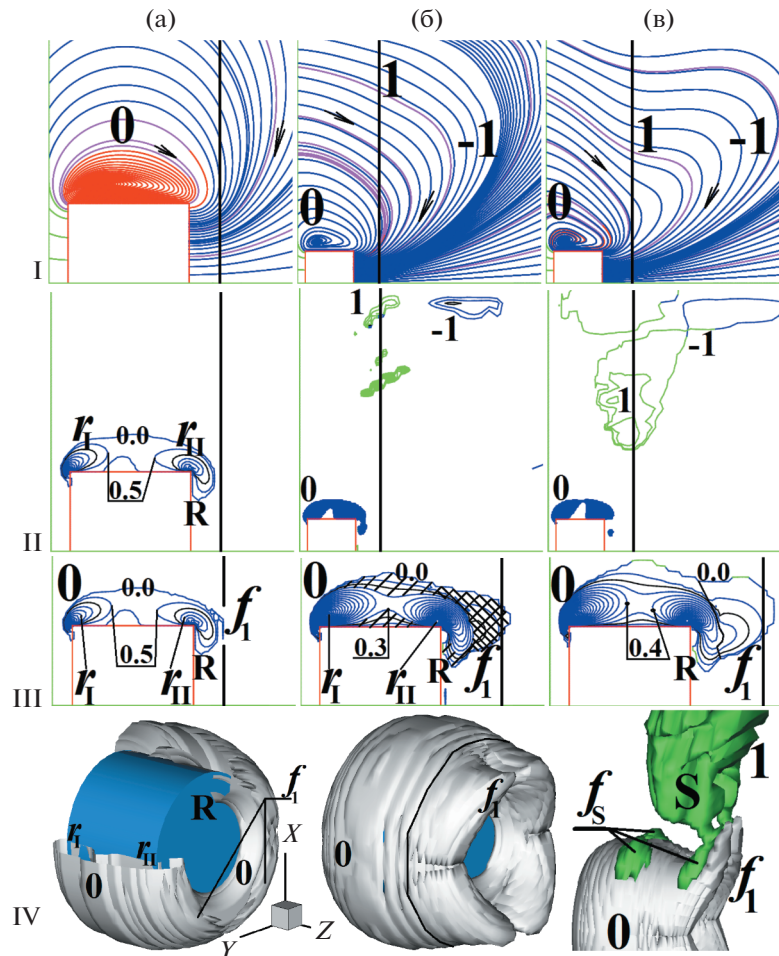
## 2. ВИЗУАЛИЗАЦИЯ ВИХРЕВОЙ СТРУКТУРЫ ТЕЧЕНИЯ ЖИДКОСТИ

Из-за стратификации жидкости, медленной скорости диска ( $Re = 50$ ) и симметричности диска относительно плоскости  $x-z$  рассчитанные 3D-поля векторов скорости в любой момент времени характеризуются горизонтальной  $y-z$  и вертикальной  $x-z$  плоскостями симметрии. Следовательно, имеют смысл картины мгновенных линий тока в плоскостях  $x-z$  (рис. 1е–1ж) и  $y-z$  (рис. 1з). На рис. 1е для СК2 визуализируются вихревые ячейки 1, 2, 3, соответствующие внутренним полуволнам 1, 2, 3, сгенерированным при  $T = 1.5$  для  $Fr = 0.3$ . На рис. 1ж–1з для СК1 показана рециркуляционная зона  $R$ , сформированная в результате отрыва набегающего на диск потока от тыльной стороны диска.

Известно, что построение 3D мгновенных линий тока с целью визуализации 3D вихревой структуры течения – трудное и неблагодарное дело. Можно легко потерять многие вихри. Поэтому для визуализации этой 3D-структуры естественно было использовать изоповерхности модуля завихренности  $\omega = |\omega| = |\text{rot } \mathbf{v}|$  (рис. 1а). Рассмотрим сначала картины изолиний фитою компоненты завихренности  $\omega_\phi$  в вертикальной плоскости  $x-z$  (рис. 1в). Из определения  $\omega_\phi$  следует, что в ячейках 1, 3 и  $-2$  на рис. 1в, где  $\omega_\phi > 0$ , жидкость вращается против часовой стрелки, что подтверждается рисунком 1е. В ячейках 0, 2,  $-3, -1$  на рис. 1в, где  $\omega_\phi < 0$ , жидкость вращается по часовой стрелке (см. рис. 1е). Изоповерхность  $\omega = 0.01$  на рис. 1а визуализирует внутренние полуволны 1–3 (области течения со значительным вращением сплошной среды), но не способна показать структуру более слабых вихрей около оси  $z$  [4]. Для визуализации всей вихревой структуры 3D течения несжимаемой жидкости в статье [2] было предложено использовать изоповерхность  $\lambda_2 < 0$  (рис. 2б). Здесь  $\lambda_2$  – второе собственное значение симметричного тензора  $\mathbf{F}^2 + \mathbf{B}^2$ , где  $\mathbf{F} + \mathbf{B} = \mathbf{G}$  – тензор градиента скорости с элементами  $v_{ij} = \partial v_i / \partial x_j$ ,  $F_{i,j} = 0.5(v_{i,j} + v_{j,i})$ ,  $B_{i,j} = 0.5(v_{i,j} - v_{j,i})$ . В [2] также упоминается визуализация 3D-течений при помощи изоповерхности мнимой части  $\beta$  двух комплексно-сопряженных собственных значений тензора  $\mathbf{G}$  (рис. 1б, 1и). Интересно отметить, что в [2] эта мнимая часть никак не обозначается. Поэтому в разных статьях ее обозначают при помощи разных символов:  $\text{Im}(\sigma_{1,2})$  [6, 15],  $\beta$  [8, 11, 14, 16],  $\lambda_{ci}$  [19],  $\lambda_{cx}$  [20] и т.п. Сначала использовалась  $\lambda_2$ -визуализация [4], а потом  $\beta$ -визуализация [6, 8, 11, 14–16], которая имеет следующий ясный физический смысл. Выберем в СК1 произвольную точку  $M$  со скоростью жидкости  $\mathbf{v}_M$  в ней. Перейдем в систему отсчета СК3( $\mathbf{v}_M$ ), движущуюся относительно СК1 со скоростью  $\mathbf{v}_M$ . Тогда скорость в точке  $M$  в СК3( $\mathbf{v}_M$ ) станет равной нулю, а для скоростей в малой окрестности этой точки будет справедливо обыкновенное дифференциальное уравнение (ОДУ)  $\mathbf{v} = d\mathbf{x}/dt \approx \mathbf{G}\mathbf{x}$ . Известно, что наличие двух комплексно-сопряженных собственных значений  $\sigma = \alpha + i\beta$  и  $\bar{\sigma} = \alpha - i\beta$  тензора  $\mathbf{G}$  в точке  $M$  дает следующее решение этого ОДУ [21]:

$$\mathbf{x} = C\mathbf{h} \exp(\sigma t) + \bar{C}\bar{\mathbf{h}} \exp(\bar{\sigma} t) + C_3\mathbf{h}_3 \exp(\sigma_3 t) = \mathbf{x}_1 + \mathbf{x}_3$$

Здесь величины  $C$  и  $C_3$  – комплексная и действительная константы соответственно,  $\sigma_3$  – треть (действительное) собственное значение тензора  $\mathbf{G}$ ,  $\mathbf{h}_3$  – третий (действительный) собственный вектор,  $\mathbf{h} = \mathbf{h}_1 - i\mathbf{h}_2$  и  $\bar{\mathbf{h}} = \mathbf{h}_1 + i\mathbf{h}_2$  – два комплексно-сопряженных собственных вектора тензора  $\mathbf{G}$ ,  $\mathbf{h}_1$  и  $\mathbf{h}_2$  – два линейно независимых действительных вектора, которые являются базисом в плоскости  $P$ . Пусть комплексное число  $\zeta = \xi_1 + i\xi_2 = C \exp(\sigma t)$ , тогда мы имеем:  $\mathbf{x}_1 = \xi_1 \cdot \mathbf{h}_1 + \xi_2 \cdot \mathbf{h}_2$ . Отобразим аффинно плоскость  $P$  на вспомогательную плоскость  $P^*$  комплексного переменного  $\zeta$ , чтобы вектор  $\mathbf{h}_1$  перешел в единицу, а вектор  $\mathbf{h}_2$  – в  $i$ . Тогда вектору  $\mathbf{x}_1 = \xi_1 \cdot \mathbf{h}_1 + \xi_2 \cdot \mathbf{h}_2$  будет соответствовать комплексное число  $\zeta = \xi_1 + i\xi_2$ . В силу этого отображения траектория в плоскости  $P$  перейдет в траекторию в плоскости  $P^*$ , описываемую уравнением  $\zeta = C \exp(\sigma t)$ . В полярных координатах  $(r, \theta)$   $\zeta = r \exp(i\theta)$ , т.е.  $\xi_1 = r \cos \theta$ ,  $\xi_2 = r \sin \theta$ . Пусть  $C = C_{\text{real}} \exp(iD)$ , тогда  $r = C_{\text{real}} \exp(\alpha t)$ ,  $\theta = \beta t + D$ . Таким образом, если  $\beta \neq 0$ , то можно говорить о вихревом характере движения жидкости в малой окрестности точки  $M$  в СК3( $\mathbf{v}_M$ ): молекулы жидкости движутся по овалам (при  $\alpha = 0$ )

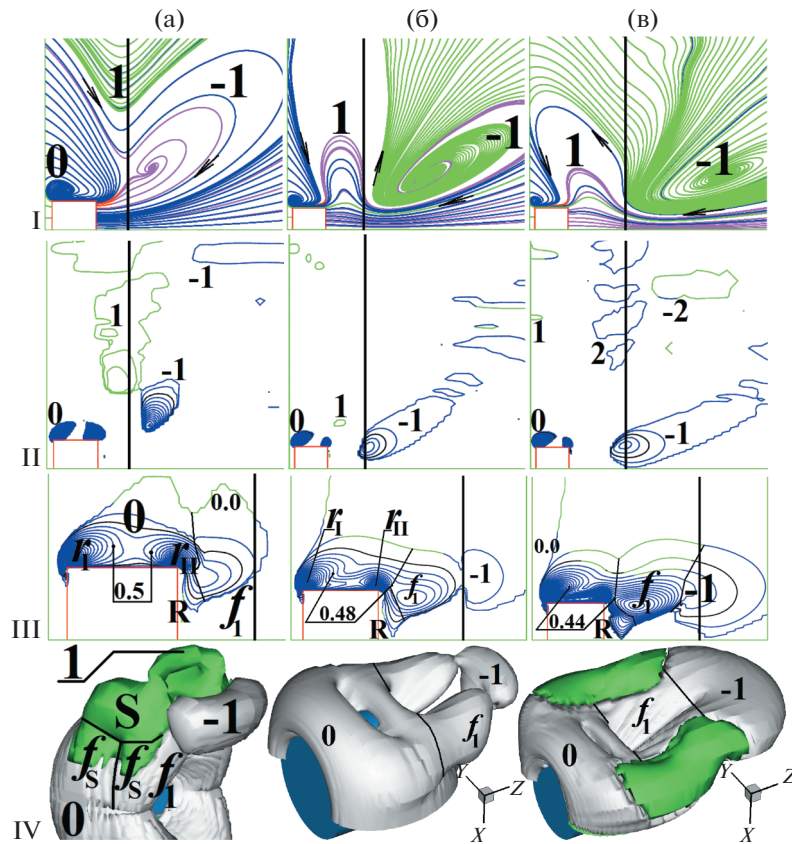


**Рис. 3.** Течение около диска при  $Fr = 0.3$ ,  $Re = 50$ ,  $T_b = 2\pi$  с: *a–в* – мгновенные линии тока в СК2 (I) и изолинии  $10^3\beta+$  с шагами 500, 0.1, 1 (II) в вертикальной плоскости  $x-z$ , изолинии  $\beta+$  с шагами 0.5, 0.1, 0.1 в плоскости  $\varphi = \pi/4$  (III), изоповерхности  $10^3\beta = 0.5, 5$  и  $10^3\beta = \pm 0.5$  (IV) при  $T = 0.1, 0.2, 0.24$ .

или овальным спиральям (при  $\alpha \neq 0$ ) и  $\beta$  – это усредненная по времени угловая скорость вращения молекул жидкости около точки  $M$  в СК3 ( $v_M$ ) [21]. Для удобства построения одноцветной изоповерхности  $\beta = \beta_0 > 0$  (рис. 1и), демонстрирующей вихревую структуру течения жидкости, в тех ячейках расчетной сетки, где  $\beta = 0$ , функция  $\beta$  переопределяется:  $\beta = -0.01$  [6, 8, 11, 14–16].

В [22] была введена двухцветная  $\beta+$ -визуализация, которая при помощи знака  $\omega_\varphi$  окрашивает полуволны впадин 1, 3 и гребней 2 на рис. 1б разными цветами, что очень удобно для исследования вихревой структуры внутренних волн (рис. 3–5, IV). Функция  $\beta+$  определена при  $\beta > 0$ :  $\beta+ = \text{sign}(\omega_\varphi)\beta$ , где функция  $\text{sign}(\omega_\varphi) = 1$  при  $\omega_\varphi \geq 0$ ,  $\text{sign}(\omega_\varphi) = -1$  при  $\omega_\varphi < 0$ . Аналогичным образом можно ввести двухцветную  $\omega+$ -визуализацию:  $\omega+ = \text{sign}(\omega_\varphi)\omega$  (рис. 1а).

Далее было замечено, что на большей площади рис. 1в  $\omega_\varphi < 0$ . Поэтому, если на рис. 1в убрать вихревые структуры, для которых  $\omega_\varphi \geq 0$ , то структура течения станет в два раза проще, но при этом удаленные структуры можно легко мысленно восстановить. Поэтому в [22] была введена одноцветная ( $\beta-$ )-визуализация течения жидкости. Функция ( $\beta-$ ) определена при  $\beta > 0$  и  $\omega_\varphi < 0$ :  $(\beta-) = \beta$  (рис. 2а). В 3D-случае при сравнении изоповерхностей  $\beta+$  на рис. 1б и изоповерхности  $\beta-$  на рис. 2а видно, что на рис. 2а все полуволны впадин, кроме первой, бесследно исчезают. На рис. 1б черной линией отмечена примерная граница между областями  $(0 + S)$  и 1, где  $S$  – это головная часть боковой вихревой петли (рис. 2е) [11]. Удаление области  $(S+1)$  оставляет грубый след на оболочке следа 0 (сравните рис. 4в, IV и 5а, IV).



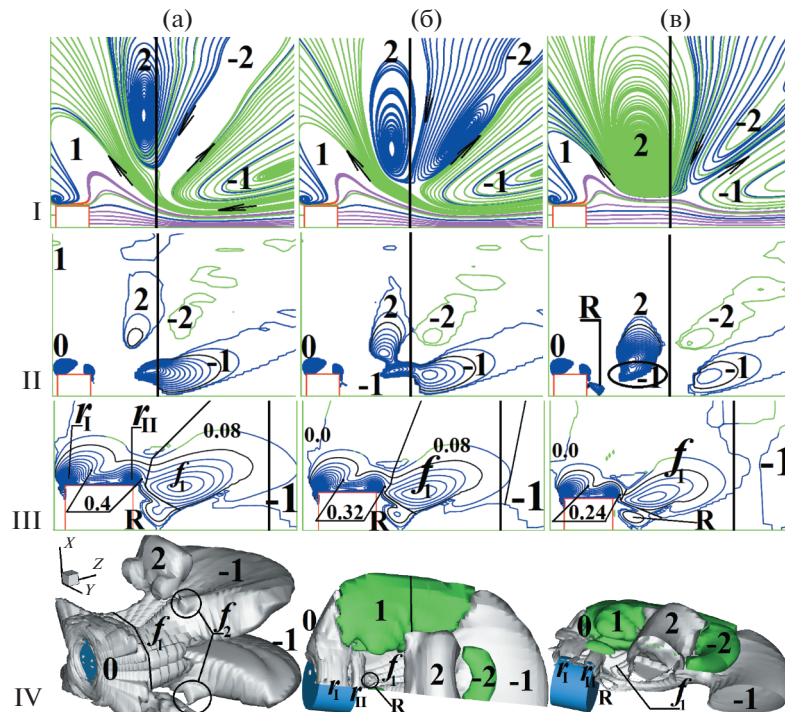
**Рис. 4.** Течение около диска при  $Fr = 0.3$ ,  $Re = 50$ ,  $T_b = 2\pi$  с: *a–в* – мгновенные линии тока в СК2 (I) и изолинии  $10^2\beta+$  с шагами 0.2, 5, 5 (II) в плоскости  $x-z$ , изолинии  $\beta+$  с шагами 0.1, 0.08, 0.04 в плоскости  $\varphi = \pi/4$  (III), изо-поверхности  $\beta+ = \pm 0.0052$ ,  $\beta = 0.15$ ,  $\beta+ = \pm 0.05$  (IV) при  $T = 0.28, 0.45, 0.68$ .

Рис. 1г–1д демонстрируют физический смысл  $\beta$  для двух точек  $M_1$  и  $M_2$  со скоростями в СК1  $(v_z, v_R, v_\varphi) = (0.973, 0.005, 0)$  (при  $x > d/2$ ) и  $(0, -0.01, 0)$ , соответственно, отмеченных черными крестами. Рис. 1д разделен черной прямой  $x = d/2$  на верхнюю и нижнюю части. Картины линий тока в верхней и нижней частях рис. 1д показаны в СК3  $(0.973, 0.005, 0)$  и СК3  $(0, -0.01, 0)$ , соответственно, и демонстрируют вращение жидкости в окрестностях точек  $M_1$  и  $M_2$ . Картины линий тока в верхней и нижней частях рис. 1д похожи на картины линий тока в СК2 (рис. 1е) и СК1 (рис. 1ж) соответственно. Так, на рис. 1д и 1ж при  $0 \leq x \leq d/2$  мы видим зону R. А на рис. 1д и 1е при  $x > d/2$  мы видим полуволны впадин и гребней. Поэтому для приблизительного описания изменения кинематики внутренних волн и отрывных течений около оси  $z$  в вертикальной плоскости можно использовать мгновенные линии тока в СК2 и СК1 соответственно. Так, на рис. 1, 3–6 для каждой картины изолиний  $\beta+$  в плоскости  $x-z$  приводится соответствующая ей картина мгновенных линий тока в СК2.

По аналогии с  $\beta+$  и  $\beta-$ -визуализациями можно определить  $\lambda_{2+}$  и  $(\lambda_{2-})$ -визуализации (рис. 2б). Функция  $\lambda_{2+}$  определена при  $\lambda_2 < 0$ :  $\lambda_{2+} = \text{sign}(\omega_\varphi)|\lambda_2|$ . Функция  $(\lambda_{2-})$  определена при  $\lambda_2 < 0$  и  $\omega_\varphi < 0$ :  $(\lambda_{2-}) = \lambda_2$ . Сравнение рис. 2а и 2б для  $T = 1.5$  и  $Fr = 0.8$  показывает, что топологии вихревых структур, полученные при помощи  $(\beta-)$  и  $(\lambda_{2-})$ -визуализаций, практически совпадают, но  $(\beta-)$ -визуализация более гармонично представляет вихревую структуру течения жидкости. Так, на рис. 2а нити  $f_1$  соединяются с кольцом R, а на рис. 2б не соединяются. На рис. 2а вихревое кольцо  $-1$  цельное, а на рис. 2б – разорвано на три части.

### 3. МЕХАНИЗМ ФОРМИРОВАНИЯ ВНУТРЕННИХ ВОЛН ПРИ $Fr \leq 4$

При  $T = 0$  диск вносится в покоящуюся стратифицированную вязкую жидкость и сразу же начинает равномерное движение вдоль горизонтальной оси  $z$  симметрии диска справа налево.



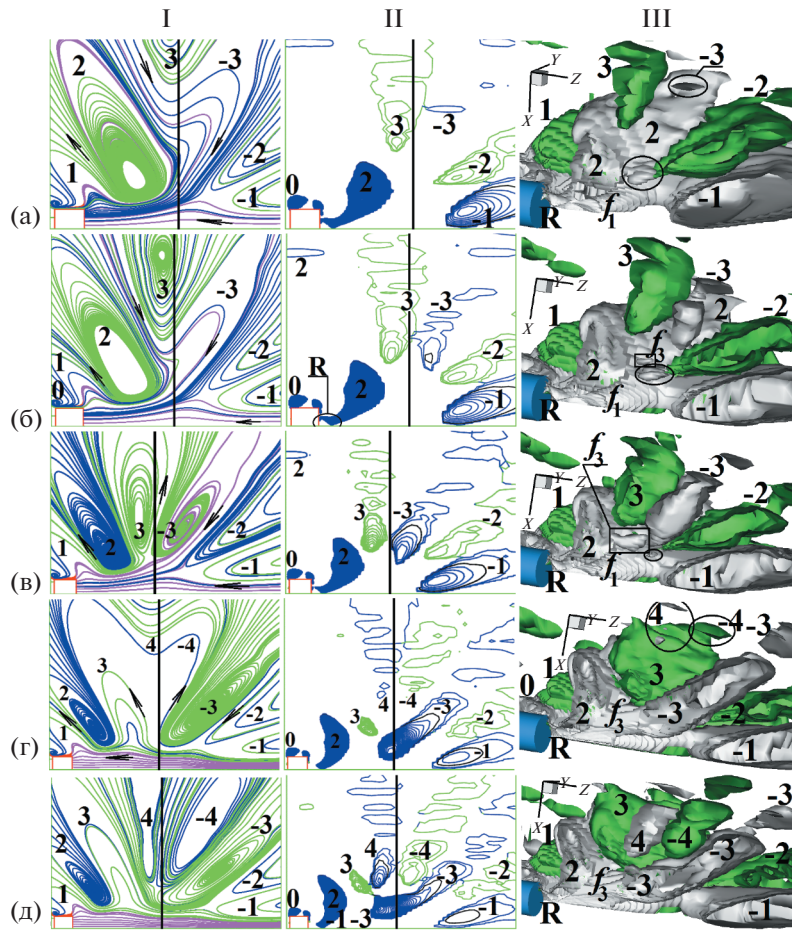
**Рис. 5.** Течение около диска при  $Fr = 0.3$ ,  $Re = 50$ ,  $T_b = 2\pi$  с: *a–в* – мгновенные линии тока в СК2 (I) и изолинии  $\beta+$  с шагом  $10^{-2}$  (II) в плоскости  $x-z$ , изолинии  $\beta+$  с шагом 0.08 в плоскости  $\varphi = \pi/4$  (III), изоповерхности  $(\beta-) = 5 \times 10^{-3}$ ,  $\beta+ = \pm 10^{-2}$ ,  $\pm 10^{-2}$  (IV) при  $T = 0.8, 0.86, 1$ .

На потревоженную жидкость, отклонившуюся от своего начального положения, начинают действовать силы плавучести (последний член уравнения (1.2)). С другой стороны, в результате прилипания молекул жидкости к поверхности диска, перед диском и по бокам диска на жидкость действуют силы, направленные справа налево. Эти силы приводят к генерации вихревого тора с осью симметрии  $z$ , заполняющего все пространство (рис. 3а, I при  $T = 0.1$ ), а силы плавучести при этом генерируют гравитационные внутренние полуволны над  $Q$  (рис. 3в, I при  $T = 0.24$ ). На рис. 3–5, IV показана динамика 3D вихревой структуры течения жидкости при  $0 < T < 1$ , обусловленная гравитационной и сдвиговой неустойчивостями. Гравитационная неустойчивость, в свою очередь, обусловлена силами плавучести жидкости. Каждую 3D-структуру на рис. 3–5 дополняют изолинии  $\beta+$  в ее сечениях при  $\varphi = 0$  и  $\varphi = \pi/4$  и мгновенные линии тока в СК2 в вертикальной плоскости  $x-z$  (при  $\varphi = 0$ ). На рис. 3а, IV одна четверть изоповерхности  $\beta = 5 \times 10^{-4}$  вырезана, чтобы показать поверхность диска.

При  $T \leq 0.1$  и  $Fr \leq 4$  вне осесимметричной вихревой оболочки 0 диска у тыловой острой кромки диска при  $x > 0$  появляются две небольшие вихревые структуры (рис. 3а, III–IV и рис. 2а–2г, 2е, 6а–6б из [11]) – зачатки двух вихревых нитей  $f_1$  (рис. 3б–3в, III–IV). Картина изолиний  $\beta+$  в сечении  $\varphi = \pi/4$  демонстрирует динамику роста нитей  $f_1$  и рециркуляционной зоны R. При  $0.2 \leq T \leq 0.24$  гравитационная и сдвиговая неустойчивости приводят к тому, что форма мгновенных линий тока над точкой  $Q$  в СК2 при  $\varphi = 0$  из прямолинейной становится волнообразной (рис. 3в, I). Почему это происходит, подробно описано в [11]. В результате над  $Q$  формируются два каскада вихрей: 1 (слева) и  $-1$  (справа) (рис. 3в, II). При  $T = 0.28$  для  $Fr = 0.3$  сердцевинки каскадов 1 и  $-1$  образуют кольцо 1 (рис. 4а, IV).

При  $Fr \leq 1$  и  $Fr \geq 2$  детали процесса формирования вихрей немного отличаются. Если при  $0.1 < T \leq 0.28$ ,  $Fr \geq 2$  и  $x > 0$  оболочка 0 следа практически не меняется со временем, а две первые нити  $f_1$  и две вторые (боковые) нити  $f_5$  формируются вне оболочки 0 (рис. 2е) [11], то при  $0.1 < T \leq 0.28$ ,  $Fr \leq 1$  и  $x > 0$  нити  $f_1$  и  $f_5$  размещаются в самой оболочке 0. Поэтому при  $Fr \leq 1$  имеет смысл разделить оболочку 0 на внутреннюю  $0_1$  и внешнюю  $0_2$  части при помощи изоповерхности  $\beta_0$ . Модуль  $\beta_0$  приведен на рис. 3–5, III. Оболочка  $0_1$  слабо меняется со временем и состоит из двух колец  $r_1$ ,  $r_{II}$ , которые генерируются двумя острыми кромками диска (рис. 3а, IV). На рис. 3б, III в





**Рис. 6.** Течение около диска при  $Fr = 0.3$ ,  $Re = 50$ ,  $T_b = 2\pi$ :  $a-d$  – мгновенные линии тока в СК2 (I) и изолинии  $10^3\beta+$  с шагом 2 (II) в плоскости  $x-z$ , изоповерхности  $\beta+ = \pm 10^{-3}$  (III) при  $T = 1.25, 1.3, 1.4, 1.73, 1.9$ .

сечении оболочки  $0_2$  при  $\varphi = \pi/4$  можно выделить нити  $f_1$ , заштрихованные в клеточку, зону R у тыльной стороны диска и остальную часть  $0_2$  над боковой стороной диска. При  $x > 0$  и  $0.2 \leq T \leq 1$  две вихревые нити  $f_1$  (ножки вихревой петли  $-1$ ) являются частью каскада  $-1$ , а петля  $-1$  – сердцевинкой каскада  $-1$ . Генерация двух симметричных петель  $-1$  при  $x > 0$  и  $x < 0$  сопровождается зарождением боковых петель S, как боковых частей двух симметричных каскадов 1. При  $x > 0$  и  $0.24 \leq T \leq 0.32$  для  $Fr = 0.3$  наблюдаются четыре боковые нити  $f_s$  (рис. 3в, 4а, IV), для  $Fr = 4$  – две нити  $f_s$  (рис. 2е). Появление петель S связано с присутствием диска и не упоминается в обсуждаемом здесь МФВВ, так как этот МФВВ посвящен непосредственно генерации внутренних волн.

Таким образом, при  $0.1 \leq T \leq 0.32$  формируются две вихревые петли  $-1$  с ножками  $f_1$  и боковые петли S. При  $T = 0.28$  для  $Fr = 0.3$  сердцевинки каскадов 1 и  $-1$  образуют кольцо 1 (рис. 4а, IV), а для  $Fr = 4$  полукольцо 1 похоже на арку (как на рис. 3б в статье [11]), радиус которой примерно в пять раз больше радиуса полукольца  $-1$ . Поэтому в формулировке МФВВ надо говорить о формировании не одного вихревого кольца 1, а двух каскадов вихрей 1 и  $-1$ , сердцевинами которых будут полукольца 1 и  $-1$ .

При  $0.28 < T \leq 0.45$  и  $Fr = 0.3$  диаметр  $D(1)$  сечения полукольца 1 плоскостью  $x-z$  уменьшается в три раза, а далее исчезает совсем.  $D(1) = 0$  говорит о том, что полукольцо 1 при  $x > 0$  разделилось на две половинки, симметричные относительно плоскости  $x-z$ . При  $x > 0$  и  $0.28 \leq T \leq 0.8$  диск сдвигается влево, а каскад  $-1$  остается у точки Q, поэтому ножки  $f_1$  петли  $-1$  вытягивается в горизонтальном направлении (рис. 4б–4в, 5а, IV); полукольцо  $-1$  сплющивается в вертикальном направлении и превращается в полукруг  $-1$ . На рис. 4б и 4в, IV показаны только половины изоповерхностей  $\beta$  для того, чтобы показать диск. При  $0.5 \leq T \leq 0.8$  над Q из-за гравитационной и



сдвиговой неустойчивостей генерируются каскады вихрей 2 и  $-2$ . Каскад вихрей 2 со временем станет полуволной гребней 2. Вихревые нити  $f_2$ , обведенные черными кругами на рис. 5а, IV для  $Fr = 0.3$  или представленные в форме полукольцевой перемычки между нитями  $f_1$  на рис. 3а из [11] для  $Fr = 4$ , – это нижние части каскада вихрей 2. Таким образом, при  $Fr = 4$  полуволны гребней формируются из четных нитей около  $Q$ , а не из полуколец над  $Q$  как при  $Fr = 0.3$ .

Пусть  $\beta_{\max}(k)$  – значение локального максимума функции  $\beta$  в сечении полукольца  $k$  плоскостью  $x-z$ . При  $T = 0.8$  и  $Fr = 0.3$  сердцевина каскада 2 приближается к оси  $z$ ,  $\beta_{\max}(2) = 0.025$ ,  $\beta_{\max}(-1) = 0.142$ , т.е. полукруг  $-1$  обладает наибольшим  $\beta_{\max}$  в сечении  $\varphi = 0$  вне оболочки диска (рис. 5а, II). При  $x > 0$  и  $T = 0.86$  каскад 2 садится на левый край полукруга  $-1$ ,  $\beta_{\max}(2)$  увеличивается до 0.088, значения  $\beta$  перераспределяются между левым и правым краями полукруга  $-1$ :  $\beta_{\max}(-1, \text{левый}) = 0.12$ ,  $\beta_{\max}(-1, \text{правый}) = 0.068$  (рис. 5б, II). Теперь в СК2 через нити  $f_1$  прокачивается жидкость, поступившая как из полукруга  $-1$ , так и из каскада 2, что в дальнейшем при  $T = 1$  приводит к трансформации полукруга  $-1$  в кольцо  $-1$  (рис. 5в, II,  $\beta_{\max}(2) = 0.22$ ,  $\beta_{\max}(-1) = 0.038$ ). На рис. 5б и 5в, IV изоповерхности  $\beta$  показаны при  $-\pi/2 \leq \varphi \leq \pi/10$  для того, чтобы показать диск. Таким образом, в результате слияния при  $0.86 \leq T \leq 1$  сердцевины каскада 2 и левой части полукруга  $-1$  каскад 2 стал обладать наибольшим  $\beta_{\max}$  в сечении  $\varphi = 0$  вне оболочки диска.

Итак, при  $T \leq 1$  над  $Q$  периодически в течение каждой  $\Delta T = 0.5$  формируются каскады вихрей  $k$  и  $-k$ , где  $k = 1, 2$ . Сердцевины каскадов  $-1$  и 1 состоят из вихревой петли  $-1$  (с ножками  $f_1$  и полукольцом  $-1$ ) и из полукольца 1 с боковыми петлями S соответственно. Сначала каскад 2 состоит из нитей  $f_2$  (около  $Q$ ) и полукольца 2, которое потом садится на левую часть полукольца  $-1$ . В результате формируются полуволна впадин 1 (над нитями  $f_1$ ) и полуволна гребней 2. Фундаментом вихревой структуры первой волны при  $T = 1$  является горизонтальное кольцо  $-1$ , сформировавшееся из полукольца  $-1$ .

Описанный выше процесс формирования вихрей для  $T \leq 1$  схематически представлен на рис. 2в–2г. Его можно обобщить на любой другой интервал времени  $(n-1) < T \leq n$ , где  $n = 2, 3, 4, \dots$ . Действительно, при  $T > 0$  над  $Q$  периодически в течение каждого интервала времени  $0.5(k-1) < T \leq 0.5k$  формируются левый  $k$  и правый  $-k$  каскады вихрей. Они состоят из нитей  $f_k$  около  $Q$  и деформированных полуколец  $k$  и  $-k$ , где  $k = 1, 2, 3, \dots$ . Для каждого нечетного  $k$  у оси  $z$  формируется вихревая петля  $-k$ . Она состоит из нитей  $f_k$  и нижнего полукольца  $-k$ , на которое потом садится четный каскад  $(k+1)$ . Далее нижнее полукольцо  $-k$  становится деформированным кольцом. Таким образом, в течение каждого интервала времени  $(n-1) < T \leq n$  формируется внутренняя волна  $n$ , состоящая из полуволн впадин  $k = (2n-1)$  и гребня  $(k+1) = 2n$ . Левая часть кольца  $-k$  становится осевой частью гребня  $(k+1)$ . В результате осевые части гребней оказываются связанными друг с другом нечетными нитями в цепочку. МФВВ для  $Fr \leq 4$  и  $\Delta T = 1$  можно сформировать короче. Нечетные каскады  $k$  и  $-k$ , нити  $f_k$  + нижний вихрь  $-k$ ; четные каскады  $(k+1)$  и  $-(k+1)$ , нити  $(k+1)$ , каскад  $(k+1)$  садится на нижний вихрь  $-k$  (рис. 2в–2д).

На рис. 2ж приведен график зависимости коэффициента  $C_d$  лобового сопротивления диска от времени  $t$  при  $Fr = 0.3$ . Волнообразная форма графика при  $T \leq 1$  обусловлена тем, что при  $T \leq 1$  точка  $Q$ , над которой работает МФВВ, находится около диска. Реализация МФВВ приводит к возмущению полей векторов скорости и давления у поверхности диска, которые и определяют  $C_d$ .

Если при  $T \leq 4$  и  $Fr = 0.3$  реализации МФВВ для разных временных интервалов  $\Delta T = 1$  немного отличаются друг от друга, то при  $T > 3$  и  $Fr = 0.3$  похожи друг на друга. Ниже подробно описываются реализации МФВВ при  $1 < T \leq 3$ ,  $Fr = 0.3$ ,  $T_b = 2\pi$  с и  $Re = 50$ , опираясь на рис. 1, 6–7. Описание особенностей МФВВ при  $T > 3$  приведено без помощи рисунков.

#### 4. ДЕТАЛИЗАЦИЯ ПРОЦЕССА ГЕНЕРАЦИИ ВОЛН ПРИ $Fr = 0.3$ И $T > 1$

Рассмотрим теперь более детально МФВВ при  $1 < T \leq 2$  (рис. 6, 2д, 1). Так как при  $T = 1$  и  $Fr = 4$  точка  $Q$  достигла внешней границы расчетной сетки, то дальнейшее исследование МФВВ при  $Fr = 4$  стало невозможным. При  $1 < T \leq 1.3$  и  $Fr = 0.3$  над точкой  $Q$  генерируются каскады вихрей 3 и  $-3$  (рис. 6а–6б). При  $1 < T \leq 1.3$   $\beta_{\max}(2)$  увеличивается до 0.33. При  $T > 1.3$   $\beta_{\max}(2)$  больше не меняется, что говорит о том, что при  $T = 1.3$  гребень 2 и вихревая структура левее его уже примерно сформировались. На рис. 6, III и 7, II изоповерхности  $\beta$  показаны при  $\pi/2 \leq \varphi \leq \pi$  для того, чтобы показать диск и для лучшего понимания 3D вихревой структуры течения жидкости. При  $T = 1.25$  на рис. 6а, III широкий “амфитеатр” полуволны 2 стоит перед меньшей по размерам “сценой” полукольца  $-2$ , боковые части которого выделены черной окружностью. Эти боковые

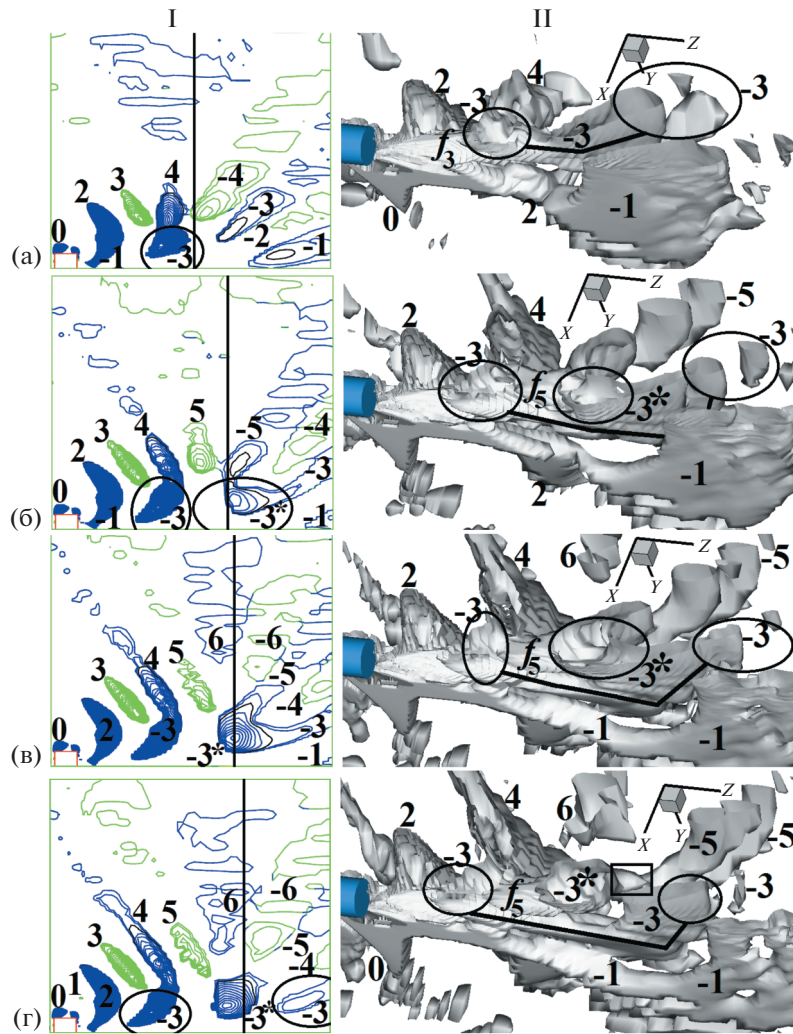


Рис. 7. Течение около диска при  $Fr = 0.3$ ,  $Re = 50$ ,  $T_b = 2\pi$  с:  $a-c$  – изолинии  $10^3\beta+$  с шагом 2 (I) в плоскости  $x-z$ , изоповерхности  $(\beta-) = 10^{-3}$  (II) при  $T = 2.05, 2.6, 2.8, 2.95$ .

части индуцируют появление нитей  $f_3$  над точкой  $Q$  при  $T = 1.3$ . Нити  $f_3$ , выделенные черным прямоугольником на рис. 6б–6в, III, являются частью формирующегося каскада  $-3$ . При  $T = 1.4$  полукольцо  $-2$  отрывается от полуволны 2,  $\beta_{\max}(3) = 0.021$ ,  $\beta_{\max}(-3) = 0.013$ , размеры нитей  $f_3$  увеличиваются (рис. 6в, III). Нити  $f_3$  расположены выше нитей  $f_1$ . Картина течения при  $T = 1.5$ , представленная на рис. 1а–1з и 2а–2б, уже была подробно описана в подразделе 2 настоящей статьи. Здесь к этому описанию остается добавить устоявшуюся внутреннюю структуру (“скелет”) первой волны на рис. 1и, где боковые нити  $f_5$  соединены с кольцом  $r_1$ , а нити  $f_1$  – с кольцом  $r_{II}$ . Здесь так же видно, что при  $T = 1.5$  сердцевина полуволны 2 – это деформированное кольцо 2 (рис. 1к). На рис. 6г, III при  $T = 1.73$  нити  $f_3$  соединены с кольцом 2. Таким образом, в стратифицированной жидкости каждое вихревое кольцо связано с четырьмя нитями. В то время как в однородной жидкости вихревое кольцо связано только с двумя нитями [6].

При  $1.5 < T \leq 1.73$  над точкой  $Q$  генерируются каскады вихрей 4 и  $-4$  (рис. 6г). При  $1.3 < T \leq 1.73$   $\beta_{\max}(-2)$  уменьшается до 0.003. При  $1.4 < T \leq 1.73$   $\beta_{\max}(3)$  и  $\beta_{\max}(-3)$  увеличиваются до 0.027 и 0.052, соответственно (рис. 6г, II), полукольцо  $-3$  превращается в полукруг  $-3$ , из нитей  $f_3$  и полукруга  $-3$  формируется вихревая петля  $-3$  (рис. 6г, III);  $D(3)$  уменьшается примерно в полтора раза (аналогично уменьшению  $D(1)$  при  $0.28 < T \leq 0.45$ ), но при этом объем полуволны впадин 3 значительно увеличивается. При  $1.73 < T \leq 1.9$   $\beta_{\max}(3)$  уменьшается до 0.023,  $\beta_{\max}(-3)$  увеличивается до 0.057 (рис. 6д, II). При  $T = 1.9$   $\beta_{\max}(4) = 0.0124$ ,  $\beta_{\max}(-4) = 0.0056$ .

При  $1.9 < T \leq 2.05$  развиваются две полуволны 4 и  $-4$ . Вертикальная полуволна 4 садится на левую часть вытянутого горизонтального полукруга  $-3$ , который затем трансформируется в деформированное кольцо  $-3$ , выделенное на рис. 7а, II двумя черными кругами с черной ломаной кривой между ними;  $\beta_{\max}(-3) = 0.0046$ ,  $\beta_{\max}(4)$  и  $\beta_{\max}(-4)$  увеличиваются до 0.08 и 0.0092 соответственно. Таким образом, при  $1 < T \leq 2$  формируются полуволна впадин 3 над нитями  $f_3$  и полуволна гребней 4. Фундаментом вихревой структуры второй волны при  $T = 2$  является горизонтальное кольцо  $-3$ . При  $2.05 < T \leq 2.95$  диаметры деформированных колец  $-1$  и  $-3$  постепенно увеличиваются (рис. 7, II).

При  $2.05 < T \leq 2.5$  над точкой  $Q$  генерируются каскады вихрей 5 и  $-5$ . Если каскады  $-1$  и  $-3$  во время своего зарождения при  $T = 0.28$  и 1.3, соответственно, имели одну ярко выраженную сердцевину, то на рис. 7б–7г при  $2.6 \leq T \leq 2.95$  наблюдаются сразу три сердцевинки каскада  $-5$  в форме полуколец. При  $2.1 \leq T \leq 2.5$  боковые части полукольца  $-4$  формируют нити  $f_5$  (аналогично формированию нитей  $f_3$ ), которые стыкуются с нижним полукольцом каскада  $-5$ , которое при  $T = 2.6$  соприкасается с верхней частью левого внутреннего куска  $-3^*$  правой части кольца  $-3$  (рис. 7б). В силу того, что кусок  $-3^*$  расположен ближе к оси  $z$ , то  $\beta_{\max}(-3) = 0.011 > 0.005 = \beta_{\max}(-5)$ . Поэтому при  $2.6 < T \leq 2.8$  кусок  $-3^*$  поглощает полукольцо  $-5$ , т.е.  $-3^* := (-3^*) + (-5)$ . В результате нити  $f_5$  соединяются с куском  $-3^*$  (рис. 7в). При  $2.5 < T \leq 2.95$  над точкой  $Q$  генерируются каскады вихрей 6 и  $-6$ . При  $2.8 < T \leq 2.95$  кусок  $-3^*$  отрывается от правой части кольца  $-3$  и трансформируется в сильно деформированное кольцо  $-3^* \equiv -5$ , боковая часть которого выделена черным прямоугольником на рис. 7г, II. Далее вертикальный каскад 6 садится на левую часть кольца  $-5$ , а полуволна 1, состоящая ранее из двух половинок, снова становится полноценным полукольцом,  $\beta_{\max}(1) = 0.008$  (рис. 7г, I). Таким образом, при  $2 < T \leq 3$  формируются полуволна впадин 5 над нитями  $f_5$  и полуволна гребней 6. Фундаментом вихревой структуры третьей волны является кольцо  $-5$ . При  $T \geq 2.8$   $\beta_{\max}(4) = 0.14 < 0.33 = \beta_{\max}(2)$ , т.е. при  $T = 2.8$  гребень 4 и вихревая структура левее его уже примерно сформировались. Поэтому ширина полуволн 2–4 на рис. 7в–7г, измеряемая вдоль прямой, перпендикулярной им, приблизительно равна  $\pi Frd \approx 0.94d$ . Это хорошо согласуется с линейной теорией внутренних волн.

При  $T = 2.95$  вихревые кольца  $-1$  и  $-3$  вместе с полукольцами  $-5$  и  $-6$  создают вихревое “гнездо” (рис. 7г). В нем потом генерируются каскады вихрей 7 и  $-7$  с несколькими сердцевинами, далее у оси  $z$  появляется вихревая петля  $-7$ , затем формируются вихревые каскады 8 и  $-8$  и каскад 8 садится на головную часть петли  $-7$ . При  $T = 4$  и  $\pi/2 \leq \phi \leq \pi$  боковая часть кольца  $-5$  становится дополнительной нитью, связывающей осевые части гребней  $-5$  и  $-7$  наряду с нитью  $f_7$ . Для числа  $Fr = 0.3$  все МФВВ при  $T > 4$  похожи на МФВВ при  $3 < T \leq 4$ . В результате осевые части гребней оказываются связанными друг с другом в цепочку нечетными нитями как “позвонки” “скелета” вихревой структуры течения (рис. 7г, II). На каждый такой “позвонок” прикреплены две полуволны (впадин и гребня). По мере уменьшения  $Fr$  горизонтальные размеры между центрами “позвонков”, равные  $2\pi Frd$ , уменьшаются.

## ЗАКЛЮЧЕНИЕ

Проведено математическое моделирование равномерного движения диска с диаметром  $d$  и толщиной  $h = 0.76d$  в горизонтальном направлении вдоль его оси симметрии  $Z$  в покоящейся линейно стратифицированной по плотности несжимаемой вязкой жидкости при  $Re = 50$ ,  $T_b = 2\pi$  с и в широком диапазоне  $Fr$ . Диск генерирует пространственные (3D) гравитационные внутренние волны, занимающие все пространство между диском и местом  $Q$  его старта. Существенно дополнен опубликованный в [11] МФВ, работающий при формировании гравитационных внутренних волн, полученный на основе анализа динамики 3D вихревой структуры течения жидкости, визуализируемой при помощи изоповерхности мнимой части  $\beta > 0$  комплексно-сопряженных собственных значений тензора градиента скорости. Для нахождения  $\beta$  в каждом узле расчетной сетки при помощи численного метода МЕРАНЖ [13] решалась система уравнений Навье–Стокса в приближении Буссинеска, записанная в цилиндрической системе координат. Для большей наглядности полуволны гребней и впадин были окрашены разными цветами в зависимости от знака угловой компоненты завихренности  $\omega_\phi$  на них. Такая визуализация получила наименование  $\beta+$  [22].

В [11] основное внимание уделяется периодическому процессу зарождения деформированных вихревых колец над точкой  $Q$ , происходящему в силу гравитационной и сдвиговой неустойчивостей. Тогда левое полукольцо трансформируется в полуволну впадин или гребней, а правое

полукольцо исчезает со временем. В настоящей работе подчеркивается важная роль нечетных правых полуколец в МФВ и сформулирован следующий универсальный МФВВ за диском для  $Re = 50$ ,  $T_b = 2\pi$  с и  $Fr \leq 4$  в верхнем полупространстве над осью  $z$ . При  $T > 0$  периодически в течение каждой  $\Delta T = 0.5$  над точкой  $Q$  формируются левый  $k$  и правый  $-k$  каскады вихрей, состоящие из нитей  $f_k$  около  $Q$  и деформированных полуколец  $k$  и  $-k$ , где  $k = 1, 2, 3, \dots$  (см. рис. 3б–4а и 5а–5б для  $k = 1$  и  $2$  соответственно). Для каждого нечетного  $k$  у оси  $z$  формируется вихревая петля  $-k$ , состоящая из нитей  $f_k$  и нижнего полукольца  $-k$ , на которое потом садится четный каскад  $(k + 1)$ . Далее головная часть петли  $-k$  становится деформированным кольцом. Таким образом, в течение каждой  $\Delta T = 1$  формируется новая внутренняя волна, состоящая из полуволн впадин  $k$  и гребня  $(k + 1)$ . Левая часть кольца  $-k$  становится осевой частью гребня  $(k + 1)$ . В результате осевые части гребней оказываются связанными друг с другом в цепочку нечетными нитями. Чтобы увидеть эту вихревую цепочку, нужно визуализировать только ту часть изоповерхности  $\beta = \beta_0$ , на которой  $\omega_\varphi < 0$ . Такая визуализация получила наименование  $(\beta-)$  [22]. Для разных интервалов  $\Delta T = 1$  МФВВ имеет свои особенности, подробно описанные в настоящей работе. Существует небольшая зависимость МФВВ от  $Fr$ . Например, при  $0.8 < Fr \leq 4$  полуволны гребней формируются из четных нитей около  $Q$ , а не из полуколец над  $Q$  как при  $Fr \leq 0.5$ . При  $Fr = 0.8$  и  $T \geq 1$  все МФВВ для разных временных интервалов  $\Delta T = 1$  похожи на МФВВ при  $Fr = 0.3$  и  $T \geq 3$ .

Таким образом, в настоящей работе приведены детальное описание и результаты расчетно-теоретического анализа динамики формирования пространственных вихревых структур в линейно стратифицированной вязкой сплошной среде, создаваемых движущимися в горизонтальном направлении объектами в форме диска.

Расчеты проводились на вычислительных ресурсах Межведомственного суперкомпьютерного центра Российской академии наук (МСЦ РАН).

#### СПИСОК ЛИТЕРАТУРЫ

1. Shirayama S., Kuwahara K. Patterns of three-dimensional boundary layer separation // AIAA-87-0461, 1987.
2. Jeong J., Hussain F. On the identification of a vortex // J. Fluid Mech. 1995. V. 285. P. 69–94.
3. Johnson T.A., Patel V.C. Flow past a sphere up to a Reynolds number of 300 // J. Fluid Mech. 1999. V. 378. P. 19–70.
4. Матюшин П.В. Численное моделирование пространственных отрывных течений однородной несжимаемой вязкой жидкости около сферы: Дис. ... канд. физ.-мат. наук: 05.13.18. М., 2003. 194 с.
5. Sakamoto H., Haniu H. A study on vortex shedding from spheres in a uniform flow // Trans. ASME: J. Fluids Engng. 1990. V. 112. P. 386–392.
6. Гуцин В.А., Матюшин П.В. Механизмы формирования вихрей в следе за сферой при  $200 < Re < 380$  // Изв. РАН. МЖГ. 2006. № 5. С. 135–151.
7. Байдулов В.Г., Матюшин П.В., Чашечкин Ю.Д. Эволюция течения, индуцированного диффузией на сфере, погруженной в непрерывно стратифицированную жидкость // Изв. РАН. МЖГ. 2007. № 2. С. 130–143.
8. Матюшин П.В. Эволюция течения, индуцированного диффузией на диске, погруженном в стратифицированную вязкую жидкость // Журнал “Математическое моделирование”. 2018. Т. 30. № 11. С. 44–58.
9. Lighthill J. Waves in Fluids. Cambridge: CUP, 1978. = Лайтхилл Дж. Волны в жидкостях. М.: Мир, 1981. 598 с.
10. Миткин В.В., Чашечкин Ю.Д. Трансформация висящих разрывов в вихревые системы в стратифицированном течении за цилиндром // Изв. РАН. МЖГ. 2007. № 1. С. 15–28.
11. Матюшин П.В. Процесс формирования внутренних волн, инициированный началом движения тела в стратифицированной вязкой жидкости // Известия РАН. Механика жидкости и газа. 2019. № 3. С. 83–97.
12. Boussinesq J. Essai sur la théorie des eaux courantes // Comptes rendus de l’Académie des Sciences. 1877. V. 23. P. 1–680.
13. Белоцерковский О.М., Гуцин В.А., Коньшин В.Н. Метод расщепления для исследования течений стратифицированной жидкости со свободной поверхностью // ЖВМ и МФ. 1987. Т. 27. № 4. С. 594–609.
14. Матюшин П.В. Классификация режимов течений стратифицированной вязкой жидкости около диска // Научный журнал “Процессы в геосредах”. 2017. № 4 (13). С. 678–687.
15. Matyushin P.V. The vortex structures of the 3D separated stratified fluid flows around a sphere // Сборник докладов Международной конференции “Потоки и структуры в жидкостях” (Санкт-Петербург, 2–5 июля 2007 г.). С. 75–78.

16. *Гущин В.А., Матюшин П.В.* Моделирование и исследование течений стратифицированной жидкости около тел конечных размеров // Журнал вычислительной математики и математической физики. 2016. Т. 56. № 6. С. 1049–63.
17. *Lin Q., Lindberg W.R., Boyer D.L., Fernando H.J.S.* Stratified flow past a sphere // J. Fluid Mech. 1992. V. 240. P. 315–354.
18. *Chomaz J.M., Bonneton P., Hopfinger E.J.* The structure of the near wake of a sphere moving horizontally in a stratified fluid // J. Fluid Mech. 1993. V. 254. P. 1–21.
19. *Wang Y., Gao Y., Liu J., Liu C.* Explicit formula for the Liutex vector and physical meaning of vorticity based on the Liutex-Shear decomposition // Journal of Hydrodynamics. 2019. V. 31. № 3. P. 464–474.
20. *Zhou J., Adrian R.J., Balachandar S., Kendall T.M.* Mechanisms for generating coherent packets of hairpin vortices in channel flow // J. Fluid Mech. 1999. V. 387. P. 353–396.
21. *Понтрягин Л.С.* Обыкновенные дифференциальные уравнения. М.: Наука, 1974. 331 с.
22. *Матюшин П.В.* Вихревая структура, генерируемая равномерным движением диска в сильно стратифицированной вязкой жидкости // “Волны и вихри в сложных средах”: 12-я Международная конференция – школа молодых ученых; 01–03 декабря 2021 г.; Сборник материалов школы. М.: ООО “ИСПО-принт”, 2021. С. 160–162.